

SEMINARARBEIT

# Service und Security-Monitoring

Seminar:  
Aufbereitung und Auswertung komplexer Daten

Martin Steinbach  
Juni 2018

**Universität  
Rostock**



Traditio et Innovatio

---

UNIVERSITÄT ROSTOCK

**Exzerpt**

Servicemonitoring ist eine wichtige Voraussetzung um eine zuverlässige IT-Infrastruktur zu betreiben. Monitoring ist auch geeignet um IT-Sicherheitskritische Ereignisse zu identifizieren und adäquat auf diese zu reagieren. Die Vorliegende Arbeit bietet eine Einführung in die Thematik der Dienstüberwachung und stellt die beiden Überwachungsformen Aktive- und Passive-Überwachung vor. Es wird zudem die Frage geklärt, warum Servicemonitoring auch gleichzeitig Securitymonitoring ist. Anschließend wird anhand eines existierenden Prototypen aufgezeigt, wie eine Korrelation von Ereignissen in Cloud-Umgebungen realisiert werden kann. In Abschnitt vier wird kurz auf eine schon verfügbare Lösungen im Bereich der Passiven-Überwachung vorgestellt.

# Inhaltsverzeichnis

<b>1</b>	<b>Einführung</b>	<b>1</b>
1.1	Service monitoring und Security monitoring . . . . .	1
1.2	Motive . . . . .	2
1.2.1	Behörden mit Überwachungsauftrag . . . . .	2
1.3	Überwachungsformen . . . . .	2
1.3.1	Aktive Überwachung . . . . .	3
1.3.2	Passive Überwachung . . . . .	4
<b>2</b>	<b>Logkorrelation in Cloud-Umgebungen</b>	<b>5</b>
2.1	Anforderungen . . . . .	5
2.2	Beispielszenario . . . . .	5
2.3	JCorrelat . . . . .	6
2.3.1	Syslog-Protokoll . . . . .	6
2.3.2	Normalisierung von Syslog-Meldungen . . . . .	7
2.3.3	Korrelation von Syslog-Meldungen . . . . .	8
2.3.4	persistente Speicherung . . . . .	9
2.3.5	Leistungsbetrachtung . . . . .	10
<b>3</b>	<b>Ausblick und Auswertungsmöglichkeiten</b>	<b>11</b>
<b>4</b>	<b>Fazit</b>	<b>12</b>
	<b>Literaturverzeichnis</b>	<b>I</b>
	<b>Abbildungsverzeichnis</b>	<b>II</b>
	<b>Tabellenverzeichnis</b>	<b>II</b>
	<b>Anhang</b>	<b>III</b>

# 1 Einführung

In diesem Kapitel wird anhand der IT-Sicherheitsziele aufgezeigt, dass man unter dem Servicemonitoring auch immer den Begriff Securitymonitoring verstehen kann. Auch soll darauf hingewiesen werden, dass der Ausdruck Überwachung im ganzen Dokument mit der Bedeutung: Aufsicht oder Monitoring belegt wird um eine klare Abgrenzung zur zweiten Bedeutung: Observation, Beschattung (engl. surveillance) zu erlangen.

## 1.1 Servicemonitoring und Securitymonitoring

Die Überwachung von Diensten ist mittlerweile ein integraler Bestandteil der Infrastruktur jedes IT-Diensteanbieters geworden. Neben der einfachen Erfassung und der (z.B. grafischen) Aufarbeitung dieser Messgrößen, werden die erfassten Daten zunehmend analysiert und es wird versucht Muster zu erkennen. Dieser Vorgang wird auch als *BigData* bezeichnet. Diese Daten werden auch verstärkt zur Sicherheitsanalyse herangezogen. Daher stellt sich die Frage, ob Securitymonitoring äquivalent zum Servicemonitoring-Begriff ist. Um es vorweg zunehmen, ja, denn es kommt ausschließlich auf die Fragestellung an, die ich mit den erfassten Daten klären möchte. Im Folgenden werden die drei Hauptziele der IT-Sicherheit aufgeschlüsselt und in Beziehung mit dem Servicemonitoring gebracht.

### Vertraulichkeit

Das Ziel der Vertraulichkeit sagt aus, dass der Zugriff auf Daten ausschließlich von autorisierten Nutzern erfolgen darf, egal in welchem Modus. Erreicht wird das Ziel zum Beispiel durch Zugriffsrechte<sup>1</sup> und vor allem durch Verschlüsselung.

Die Frage, ob sich Vertraulichkeit überwachen lässt, ist nur teilweise beantwortbar. Stellt man sich ein System vor auf dem ein nicht autorisierter Nutzer Zugriff auf Informationen erlangt, so ist dies messbar und es ist möglich eine Meldung zu generieren (z.B. eine Log-Meldung oder eine Nachricht an Verantwortliche). Wird jedoch ein autorisiertes Konto durch einen nicht autorisierten Nutzer kompromittiert, gestaltet sich die Entdeckung dieses Ereignisses schwieriger. Ob es sich in diesem Fall um einen erlaubten Zugriff des tatsächlichen Nutzers oder einen nicht erlaubten Zugriff handelt kann nur unter der Zuhilfenahme weiterer Information geklärt werden, zum Beispiel könnte die Quelle (Kapitel ??), von der aus sich der Nutzer Zugriff verschafft hat, miteinbezogen werden. Auch die Korrelation mit Zeitdaten, an denen sich der zugriffsberechtigte Nutzer einloggt, können zur Klärung hinzugezogen werden.

### Verfügbarkeit

Ob ein Dienst Verfügbar ist, wird dadurch geklärt, ob der Zugriff auf Informationen innerhalb eines gewissen Zeitraums erfolgreich ist.

Die Verfügbarkeit gleicht damit auch der grundlegenden Fragestellung des Servicemonitorings. Ist ein gewisser Dienst erreichbar und ist dessen Abarbeitungsgeschwindigkeit in einem vorgegebenem Rahmen?

---

<sup>1</sup>Unabhängig von der Umsetzungsstrategie, wie z.B. Mandatory Access Control (MAC) oder Discretionary Access Control (DAC)

## Integrität

Integrität wird erreicht, wenn eine Änderung der Daten nicht unbemerkt geschieht. Es soll somit ein Indikator für die Veränderung existieren. Um dieses Ziel zu erreichen werden Verfahren wie digitale Signatur und Hashes verwendet.

Auch das Ziel der Integrität lässt sich kontrollieren, dazu finden die selben Maßnahmen Verwendung wie in der IT-Sicherheit. Es lassen sich zum Beispiel auf regelmäßiger Basis Daten prüfen, von denen man vorher mit einem kryptografisch sicheren Verfahren ein Hash errechnet hat. Ändert sich die Hashsumme, ohne das ein Zugriff auf die Daten genehmigt wurde, ist dies ein Integritätsverlust.

Zusammengefasst ist Monitoring von IT-Infrastruktur immer auch gleich Securitymonitoring. Mithilfe eines lückenlos ausgerollten Monitorings ist es demnach möglich zu Beweisen zu welchem Zeitpunkt ein gewisser Dienst welchen Zustand hatte.

## 1.2 Motive

Der Grund warum eine dauerhafte Überwachung von Infrastruktur und den darauf aufbauenden Diensten keine Option sondern obligatorisch sein sollte, ist recht simpel zu erörtern. Allein die in [1, 461] berichteten Zahlen sprechen für sich. 90 % aller Firmen waren schon Cyberattacken ausgesetzt, 80 % davon haben dadurch erhebliche finanzielle Einbußen erlitten. Aktuell werden innerhalb eines Jahres 86 % der großen nordamerikanischen Unternehmen Opfer von Cyberattacken und der Diebstahl des geistigen Eigentums hat sich in den Jahren 2011-2015 verdoppelt.

Auch der aktuelle, jährlich veröffentlichte Lagebericht zur nationalen IT-Sicherheit des Bundesamtes für Sicherheit in Informationstechnik (BSI) [2, 12] berichtet von einer Cyberattacke auf eine großen deutschen Industriekonzerne. Etwa zwei Monate konnten unbemerkt Daten aus weltweit verteilten Standorten in Richtung Südostasien abfließen bevor der Vorfall detektiert wurde. Aus den Empfehlungen des BSI lässt sich schließen, dass neben einer ungünstigen Netzwerksegmentierung auch mangelhaftes Monitoring der Grund für die späte Erkennung war. In diesem Zusammenhang ist auch der Angriff auf den Deutschen Bundestag im Jahr 2015 erwähnenswert, da auch in diesem Fall einige Wochen lang unbemerkt Daten abfließen konnten und das Ziel hoheitliches war, Technologietransfer und finanzielle Absichten also eine untergeordnete Rolle gespielt haben.

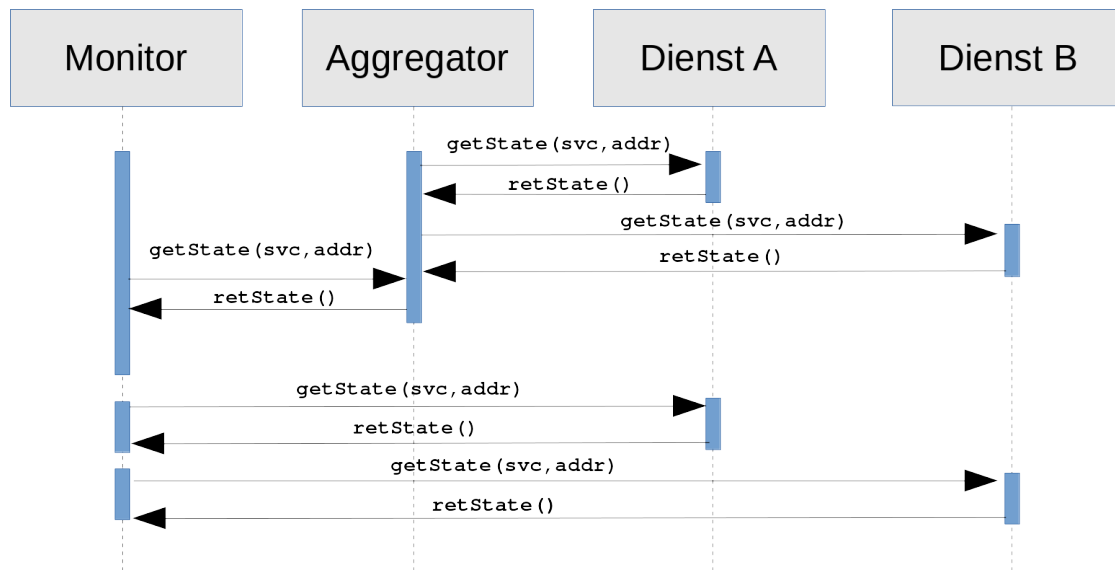
### 1.2.1 Behörden mit Überwachungsauftrag

Aufgrund der zuvor dargestellten Gründe, wurden in den letzten Jahren eine Reihe an neuen Behörden in der Bundesrepublik Deutschland gegründet, deren Auftrag die Überwachung (Monitoring) wichtiger Infrastrukturen innerhalb der Grenzen der Bundesrepublik ist. Zum Einen das Nationale Cyber-Abwehrzentrum (NCAZ) [3] mit Sitz in Bonn. Die Aufgabe des NCAZ ist die Koordinierung von Abwehrmaßnahmen und Informationskonsolidierung über den Aufbau von rein ziviler Infrastruktur über mehrere Behörden hinweg. Das Nationale IT-Lagezentrum [4] überwacht hingegen aktiv die Regierungsnetze und erstellt monatliche Lageberichte. Auf militärischer Seite übernimmt der Bundeswehr-Organisationsbereich Cyber- und Informationsraum (CIR) diese Aufgabe.

## 1.3 Überwachungsformen

Es lassen sich zwei verschiedene Überwachungsformen identifizieren. Die aktive Überwachung, bei der aktiv Status und Messwerte von Diensten erfragt werden, sowie die passive Überwachung, bei der die Dienste selbstständig Meldungen an einen zentralen Punkt senden. Unter einem Dienst wird in diesen Beispielen nicht nur ein *service* oder *daemon* sondern ein jegliche Entität, deren Status messbar ist, verstanden.

Abbildung 1.1: Sequenzdiagramm: Aktive Überwachung



### 1.3.1 Aktive Überwachung

Obiges Sequenzdiagramm zeigt schematisch den Ablauf aktiver Überwachung. *Monitor* ist die zentrale Instanz auf der alle zu überwachenden Informationen gesammelt, aufbereitet und ausgegeben werden. Jedoch muss der *Monitor* nicht alle Information sammeln, es können auch hierarchisch untergeordnete *Aggregatoren* existieren, welche ebenfalls Informationen von verschiedenen Diensten erheben. Diese *Aggregatoren* können aus Leistungsgründen vor einen *Monitor* geschaltet werden, um die Anzahl an abzufragenden Diensten für den *Monitor* zu verringern. In diesem Fall bereitet bereits der *Aggregator* die Daten auf und der *Monitor* fragt nur noch die schon konsolidierten Informationen ab. Aber auch Segmentierungen von Infrastruktur können diesen Aufbau notwendig machen, wenn z.B. *Monitor* *Dienst A* und *Dienst B* nicht direkt erreichen kann oder darf. Zur Klassifizierung von Ereignissen werden in Überwachungslösungen<sup>2</sup> oft verschiedene Status verwendet, dies dient hauptsächlich zum schnelleren Verständnis für die auswertende Person. Aus diesem Grund wurden in Abbildung 1.1 die Bezeichnungen für der Abfragefunktionen `getState()` und `retState()` gewählt. Mögliche Status für die Rückgabe sind in Tabelle 1.1 aufgeführt.

Tabelle 1.1: Statusübersicht

Statusbezeichnung	Statusbeschreibung
OK	Dienst läuft innerhalb normaler Parameter.
WARNING	Die (zuvor definierte) Warnschwelle wurde überschritten.
CRITICAL	Die kritische Schwelle wurde überschritten oder es gab einen Timeout.
UNKNOWN	Ein undefinierter Wert wurde an <i>Monitor</i> übermittelt.

Ein Visualisierungsbeispiel für einen Statusverlauf eines überwachten Dienstes befindet sich im Anhang (Abbildung ??).

<sup>2</sup>zum Beispiel: Nagios, Icinga

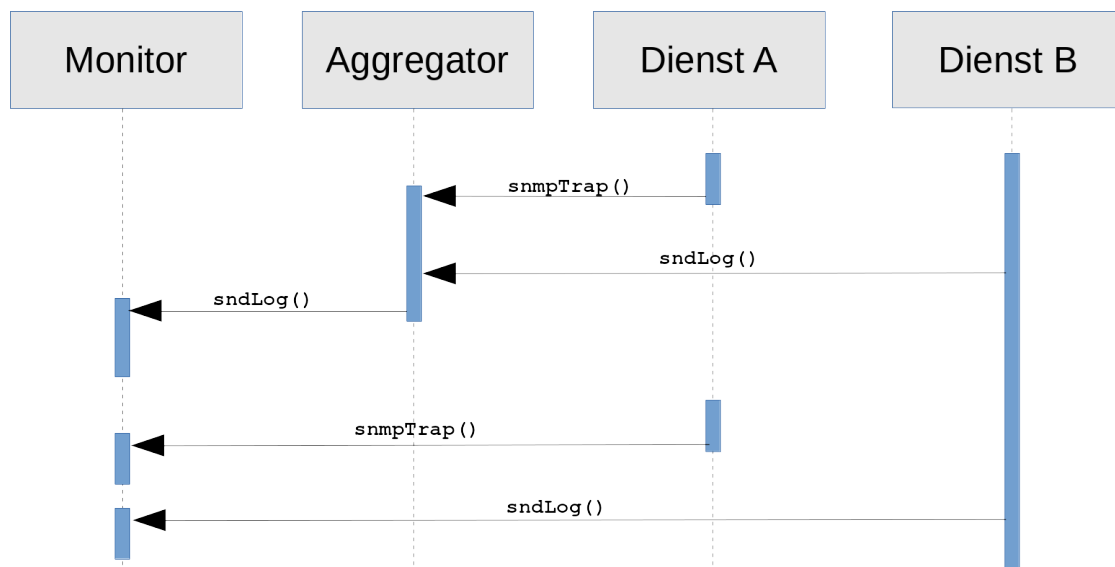
Mithilfe der Techniken zur aktiven Überwachung lassen sich zwei Klassen überwachbarer Dienste identifizieren: Die Betriebssystemabhängigen und die Betriebssystemunabhängigen Dienste. Tabelle 1.2 listet einige Beispiele für die jeweilige Klasse auf.

Tabelle 1.2: Beispiele für aktive Überwachung

Dienst / Entität	Beispiel
<b>Betriebssystemabhängig</b>	
Auslastung	wie viel CPU-Zeit benötigt ein bestimmter Prozess/das ganze System
Speicher	Speicherauslastung des Systems/ Belegung persistenter Speicher
Prozesse	läuft ein bestimmter Prozess/ wie viele Prozesse eines Namens laufen
Datendurchsatz	wie viele Bytes passieren ein Interface, Anzahl an <i>paket-drops, rejects</i>
Audit	wurden Zugriffsregeln verletzt/ welcher Nutzer hat auf Datei X zugegriffen
<b>Betriebssystemunabhängig</b>	
ICMP	Netzwerkschnittstelle/ System erreichbar, <i>round trip time</i>
TCP/UDP	ist bestimmter <i>port</i> erreichbar
Anwendungsprotokolle	Login möglich / Referenzdaten abrufbar / Rückgabewerte Testroutinen
SNMP	Abfrage beliebiger Kenngrößen

### 1.3.2 Passive Überwachung

Abbildung 1.2: Passive Überwachung



Wie in Abbildung 1.2 zu erkennen, werden bei der passiven Überwachung nur Daten ausgewertet, welche durch Dienste selbst generiert werden oder aber durch eine Software, welche den Dienst lokal überwacht. Es erfolgt keine Abfrage bei den Diensten, der zentrale Punkt, der die Auswertung übernimmt bleibt passiv und empfängt lediglich Meldungen. Am häufigsten sind diese Meldungen LOG-Meldungen, generiert von einem LOG-System. Aber auch SNMP-Traps fallen unter diese Kategorie, daher auch die Wahl der Funktionen in Abbildung 1.2.

## 2 Logkorrelation in Cloud-Umgebungen

Im folgenden Abschnitt wird eine Forschungsarbeit der Fachhochschule Fulda [5] vorgestellt. Ziel der Forschung war und ist es, ein gut skalierendes System zu entwickeln um eine automatisierte Auswertung von Syslog-Meldungen in Cloud-Umgebungen bereit zu stellen. Aufgrund der enormen Datenmengen die in solchen Umgebungen anfallen kann eine Auswertung nur mittels korrelations- und Aggregationsverfahren geschehen. Um dieses Ziel zu erreichen kommen verschiedene Standards und eine Reihe von Software-Lösungen zum Einsatz.

Nachfolgend werden einige wichtige Begriffe geklärt, die Anforderungen identifiziert, die verwendeten Standards und die eingesetzte Software erläutert und im Weiteren Verlauf des Abschnitts wird anhand eines Beispiels eine Syslog-Korrelation vorgenommen.

### 2.1 Anforderungen

Viele Unternehmen haben in den letzten Jahren einen großen Teil ihrer IT-Infrastruktur ausgelagert. Laut Analysen werden bis 2025 80 % aller Unternehmen [6] weltweit ihre eigene Rechenzentrumsinfrastruktur abgeschaltet haben. Die wenigen Anbieter von Cloud-Infrastruktur stehen in Konkurrenz miteinander, daher existieren auch keine einheitlichen Schnittstellen um auf die Cloud-Konfigurationen zuzugreifen. Für die Überwachung, speziell von Sicherheitskritischen Ereignissen, stehen ebenso nur proprietäre Schnittstellen jedes Anbieters zur Verfügung. Aus diesem Grund soll ein System geschaffen werden, das die gewaltige Menge an aufkommenden Logdaten, unabhängig vom Anbieter, analysiert und sicherheitskritische Ereignisse unverzüglich zu identifiziert. Insbesondere soll das System das dynamisch sinkende und wachsende Syslog-Aufkommen beherrschen können. Denn durch die fluide Kostenstruktur der Cloud-Anbieter können schnell neue virtuelle Maschinen erstellt und entfernt werden, je nachdem wie viel Leistung der Kunde gerade benötigt. Darüber hinaus sollen Meldungen auch persistent gespeichert werden, vornehmlich zur Erstellung von Trends und Langzeitanalysen, dabei soll der benötigte Speicherplatz so gering wie möglich gehalten werden.

### 2.2 Beispielszenario

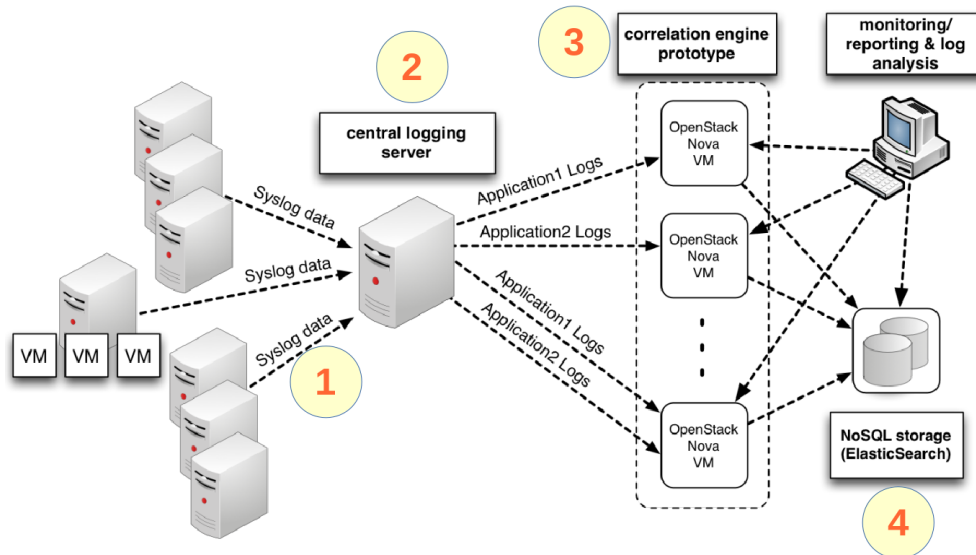
Im weiteren Verlauf dieses Kapitels soll zur detaillierteren Darstellung der Leistungsfähigkeit einer automatischen Syslog-Korrelation ein gängiges Angriffsszenario dienen. Eine *ssh*-BruteForce Attacke auf eine beliebige Anzahl an überwachten Systemen. Dabei soll genau der eine erfolgreiche Login innerhalb der enormen Anzahl an erfolglosen oder ungültigen Versuchen identifiziert werden. Dieses recht einfache Szenario ist bei der erheblichen Anzahl an möglichen Systemen (10K+) manuell unmöglich zu bewerkstelligen.



## 2.3 JCorrelat

In Abbildung 2.1 [5, 47] ist der schematische Aufbau von JCorrelat dargestellt, ein Prototyp der die Anforderungen aus Abschnitt 2.1 erfüllen soll. Die hinzugefügten Nummern dienen der Übersichtlichkeit im weiteren Erklärungsverlauf.

Abbildung 2.1: Aufbau von JCorrelat



### 2.3.1 Syslog-Protokoll

Als Ereignisquelle und als Grundlage für neu generierte Meldungen wird das Syslog-Protokoll verwendet. Es ist das meist verbreitete Log-Format und wurde bereits in RFC 3164 standardisiert, jedoch sieht dieser Standard keine strukturierten Daten (**key**  $\Rightarrow$  **value**) innerhalb einer Syslog-Nachricht vor. Erst mit RFC 5424 [7] wurde diese Funktionalität hinzugefügt.

Tabelle 2.1: Aufbau RFC 5424

Feld	Inhalt	Beispiel
<b>HEADER</b>		
facility	$int \in \{0..23\}$	<165> (local0)
severity	$int \in \{0..7\}$	<165> (Notice)
timestamp	RFC3339	2003-10-11T22:14:15.003Z
hostname	string	mymachine.example.com
tag	string	evntslog
<b>MESSAGE</b>		
MSGID	string	ID47
structured data	key=value	eventID="1011"
content	string	An application event log...

Abbildung 2.2: Beispiel RFC5424 Syslog-Meldung

```
<165> 2003-10-11T22:14:15.003Z mymachine.example.com evntslog - ID47
[exampleSDID@32473 iut="3" eventSource="Application" eventID="1011"] BOMAn
application event log entry...
```

Tabelle 2.1 zeigt den Aufbau eines Syslog-Paketes nach RFC 5424 und Abbildung 2.2 die dazugehörige RFC 5424 konforme Nachricht. Die für die weitere Verwendung wichtigsten Felder wurden grün markiert. Dazu zählt der Schweregrad (*severity*), wobei 0 (**Emergency**) den höchsten und 7 (**DEBUG**) den niedrigsten Schweregrad darstellt. Das *tag*-Feld, das zum Beispiel die Herkunft (Programm) und die zugehörige *process ID* beinhalten kann. Am wichtigsten ist das *structured data*-Feld, welches mit beliebigen Informationen gefüllt werden darf.

### 2.3.2 Normalisierung von Syslog-Meldungen

Diese Sektion erläutert Punkt **2** in Abbildung 2.1, es handelt sich um den zentralen Syslog-Server. Als Software kommt die Open Source - Lösung *rsyslog*<sup>1</sup> zum Einsatz. *rsyslog* ist RFC 5424 konform, äußerst performant und durch Module erweiterbar. Eben eines dieser Module kommt auch im hier vorgestellten Korrelationssystem zum Einsatz: *liblognorm*, mittlerweile ein fester Bestandteil von *rsyslog*.

Alle Applikationen senden ihre Syslog-Meldungen an diesen Server und damit auch alle SSH-Dienste. Somit alle Syslog-Nachrichten über einen erfolgreichen, fehlgeschlagenen oder ungültigen Login vor. In Abbildung 2.3 wird jeweils ein Beispiel pro Fall abgebildet.

Abbildung 2.3: Beispiele SSH-Meldungen

```
Jan 29 16:00:25 HOST sshd[2039]: Accepted password for root from 10.0.23.4 port 39110 ssh2

Jan 29 16:06:00 HOST sshd[2032]: Failed password for root from 10.0.23.4 port 54548 ssh2

Jan 29 16:08:39 HOST sshd[2023]: Failed password for invalid user test from 10.0.23.4
port 57165 ssh2
```

*liblognorm* ist nun in der Lage diese Meldungen auf Basis vorher definierter Regeln zu durchsuchen (für das konkrete Beispiel finden sich die Regeln im Anhang unter Abbildung 4.2) und die relevanten Informationen zu extrahieren. Aus diesen Daten generiert *liblognorm* eine neue Syslog-Meldung in dem es aus den aufgeschlüsselten Feldern Protokoll, Nutzernamen, Port und Quelladresse strukturierte Daten bildet (Anhang: Abbildung 4.3). Zusätzlich wird die neue Meldung mit einem neuen *syslog-tag* namens **SSHFAILURE** oder **SSHSUCCESS** versehen und an die Korrelationsinstanz weitergeleitet.

*liblognorm* normalisiert und serialisiert Daten, die aus verschiedenen Quellen stammen und unterschiedlich kodiert sein können zu neuen Nachrichten. Damit werden Redundanzen aus den Meldungen entfernt und eindeutige *syslog-tags* zu schnelleren Identifizierung durch die Korrelationsinstanz gesetzt.

---

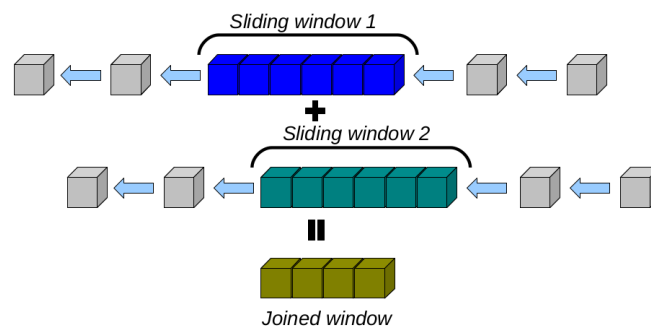
<sup>1</sup><https://rsyslog.com>

### 2.3.3 Korrelation von Syslog-Meldungen

Mithilfe der normalisierten Meldungen wird nun versucht ein Zusammenhang zwischen den Syslog-Ereignissen zu erkennen. Diese Ereigniskorrelation ist der rechenaufwändigste Schritt und kann daher, wie in Punkt 3 in Abbildung 2.1 zu erkennen ist, auf mehrere virtuelle Systeme verteilt werden.

Die Korrelation der Syslog-Meldungen durch *JCorrelat* erfolgt mithilfe von *Drools-Fusion*<sup>2</sup>. *Drools-Fusion* ist eine *Complex Event Processing Engine*, mit dessen Hilfe zeitliche Schlussfolgerungen gezogen werden können. Um dieses Ziel zu erreichen werden Regeln erstellt um spezielle Events zu beschreiben und alle Nachrichten die zu einer Regel gehören werden analysiert, die restlichen Meldungen werden verworfen. Findet sich eine zeitliche Übereinstimmung, wie in der Regel definiert, wird der Event ausgelöst, die Nachricht wird mit einem *syslog-tag* versehen und zur weiteren Analyse oder Speicherung weitergeleitet. *Drools-Fusion* behält dazu alle relevanten Syslog-Meldungen in einer *in memory engine* vor und verwendet das Prinzip der *sliding windows* um Zusammenhänge zu erkennen. Abbildung 2.4 [8, 70] demonstriert die Funktionsweise der *sliding-windows*, ein Quader ist in hier verwendeten Beispiel eine relevante Syslog-Meldung, die Fenster analysieren immer eine gewisse Anzahl an Meldungen aus verschiedenen Quellen, die in einem bestimmtem Zeitfenster erzeugt wurden. Erfüllt das *joined-window* dann den Bedingungen in der definierten Regel, kann ein Event ausgelöst werden.

Abbildung 2.4: *sliding window*-Prinzip



Um nun, wie in Abschnitt 2.2 beschrieben, einen erfolgreichen SSH Brute-Force Angriff zu erkennen, muss zuerst eine Brute-Force-Angriffe erkannt werden, dazu dient die Regel **SSH brute-force attempt** (Anhang: 4.4). Die Regel untersucht nur Syslog-Meldungen die mit dem *syslog-tag* **SSHFAILURE** versehen wurden. Es wird ein Event ausgelöst, wenn innerhalb von einer Minute vom gleichen Quell-Host und dessen verwendeten Benutzernamen 10 oder mehr fehlgeschlagene Login-versuche erfolgen. Als Event wird in diesem Fall eine neue Syslog-Meldung verfasst und mit dem Schweregrad **WARNING** und dem *syslog-tag* **BRUTEFORCE** versehen. Die Meldung kann zum Beispiel persistent gespeichert werden (mehr dazu in Abschnitt 2.3.4) und an einen Monitor weitergeleitet werden.

Zur Erkennung einer erfolgreichen SSH Brute-Force-Angriffe existiert ebenfalls eine beispielhafte Regel (Anhang: 4.5). Die Regel **Successful SSH brute-force attack** löst einen Event aus, wenn innerhalb von 10 Sekunden nach dem Auftreten von Meldungen mit dem *syslog-tag* **BRUTEFORCE** und **SSHFAILURE** und des zugehörigen Host und der verwendeten Benutzernamen, eine Meldung mit dem *syslog-tag* **SSHSUCCESS** auftritt, welche vom gleichen Host und aus der dazugehörigen Menge der Benutzernamen stammt. Die generierte Syslog-Meldung wird mit dem gewichtigsten Schweregrad **EMERGENCY** und dem *syslog-tag* **INCIDENT** markiert.

Mit diesen beiden Regeln ist es *JCorrelat* unter der Zuhilfenahme von *Drools-Fusion* möglich den einen Erfolgreichen Login unter tausenden Loginversuchen innerhalb einer Brute-Force-Angriffe zu identifizieren.

<sup>2</sup><https://www.drools.org/>

### 2.3.4 persistente Speicherung

In diesem Abschnitt wird Punkt 4 aus Abbildung 2.1 erläutert.

Neben der direkten Alarmierung von IT-Sicherheitskritischen Ereignissen, ist ein weiteres Ziel der IT-Sicherheit die Verfügbarkeit der älterer Ereignisse um auch über längere Zeiträume hinweg verbindlich Auskunft über den Zustand eines Systems zu geben, oder die Daten mit neuen Methoden zu analysieren. Jedoch stellt die Speicherung von einer großen Menge sich ändernder Daten eine große Herausforderung dar. Mit *JCorrelat* ist es möglich eine Vielzahl an Diensten zu überwachen, dabei können sich die zu betrachtenden Daten ständig ändern und es können Dienste hinzukommen oder wegfallen.

Eine erster Ansatz wäre die Speicherung der normalisierten Daten (Abschnitt 2.3.2) in einer relationalen Datenbank. Aufgrund der dynamischen Natur der Daten müsste für eine effiziente Verarbeitung das Schema einer solchen Datenbank stetig angepasst werden, dieser Aufwand ist enorm und nicht Zielführend. Im Gegensatz zum relationalen Ansatz wird bei *NoSQL*-Datenbanken (Not only SQL) kein, oder nur ein minimales Schema gespeichert. Somit erlaubt dieses Konzept zu jeder Zeit eine Änderung der Struktur der Daten. Darüber hinaus lassen sich *NoSQL*-Datenbanken über viele Instanzen hinweg skalieren und liefern Daten sehr schnell aus. Allerdings mit den Nachteil, dass nicht auf allen Systemen zeitgleich die aktuellsten Daten zur Verfügung stehen.

Grundsätzlich lassen sich drei Konzepte von *NoSQL*-Datenbanken identifizieren. Zuerst sind die einfachen **key-value**-Implementierungen zu nennen, diese Datenbanken sind mit Abstand die schnellsten, da die Werte lediglich ein *BLOB* (Binary Large Object) abgespeichert werden und somit nicht interpretiert werden. Damit sind die Werte nicht durchsuchbar, umso einfache ist dafür die API.

Die **column-oriented data stores**-Lösungen speichern die Daten in Tabellen, ähnlich wie relationale-Lösungen, jedoch werden die Zeilen einer Tabelle in sogenannte shards (Scherben) unterteilt und die Spalten in Spaltengruppen, jeweils Abhängig von ihrem Schlüssel. Damit ist das Tabellenschema beliebig erweiterbar, aber eine Volltextsuche bietet diese Lösung nicht.

Davon abweichend arbeiten die **document-based data stores**, sie speichern die Daten in *documents* ab, welche eine Menge an beliebigen Argumenten mit einer unterschiedlichen Anzahl an Attributen beschreiben. Neue Objekte dürfen jederzeit neu angelegt werden und die Art und Anzahl ihrer *key-value*-Paare ist nicht von Interesse. Als größter Vorteil ist hier die Möglichkeit zur Volltextsuche zu nennen.

Eben aus diesen letztgenannten Gründen kommt bei *JCorrelat* *elasticsearch*<sup>3</sup> zum Einsatz, was die Konzepte eines **document-based data stores** umsetzt. *JCorrelat* sendet die normalisierten und korrelierten Syslog-Meldungen direkt an *elasticsearch* für eine persistente Speicherung. Monitoring- und Visualisierungssysteme können nun periodisch auf diese Daten zugreifen und kritische Ereignisse melden und visualisieren. Eine rudimentäre Visualisierung des SSH Brute-Force -Szenarios wurde in [5] veröffentlicht (Abbildung 2.5). Alternative Möglichkeiten zu Visualisierung werden in Abschnitt 3 erläutert.

Abbildung 2.5: Einfache Visualisierung durch JCorrelat

Severity	Facility	Message
emergency	security	Accepted password for root from 10.0.23.4 port 54548 ssh2 [bruteforce]
info	auth	Failed password for root from 10.0.23.4 port 54548 ssh2
warn	security	SSH brute-force attack for root from 10.0.23.4
info	auth	Connection closed by 10.0.23.4 [preauth]
info	auth	Failed password for root from 10.0.23.4 port 54548 ssh2
info	auth	Failed password for root from 10.0.23.4 port 54548 ssh2
info	auth	Failed password for root from 10.0.23.4 port 54548 ssh2

<sup>3</sup><https://www.elastic.co/products/elasticsearch>

### 2.3.5 Leistungsbetrachtung

Wie schon in Sektion 2.3.4 erwähnt, kostet das Korrelieren der Syslog-Meldungen am meisten Rechenzeit und ist daher der limitierende Faktor. Insbesondere stellt die Skalierbarkeit von *Drools-Fusion* ein Problem dar, da es auf *in memory engine* basiert, müssten mehrere Instanzen auf den gleichen Arbeitsspeicher zugreifen können (*distributed memory*). Jedoch existieren laut [5] dafür keine leistungsfähigen OpenSource-Lösungen, sodass eine Partitionierung nach Anwendung empfohlen wird. Somit ist nur eine *JCorrelat*-Instanz für eine Anwendung zuständig. Es besteht ein Zusammenhang zwischen benötigten Arbeitsspeicher und der Größe des Betrachtungsfensters, benötigt eine Regel ein längeres Betrachtungsfenster umso mehr Meldungen müssen im Arbeitsspeicher gehalten werden.

Untersucht wird auch die Geschwindigkeit von *rsyslog*, der ohne Normalisierung auf gängiger Hardware bei einer Syslog-Nachrichtengröße von 512 Byte über 200.000 Syslog-Meldungen verarbeiten kann und damit die maximale Anzahl an Nachrichten auf einer 1 GBit-Netzwerkschnittstelle verarbeiten kann.

Für den Benchmark wurden mithilfe der Software *loggen*<sup>4</sup> eine 20.000 Meldungen umfassende Datei in Dauerschleife eingelesen und die daraus generierten Syslog-Meldungen an den Syslog-Server (Punkt 2 in Abbildung 2.1) weitergeleitet. Die Datei bestand zu circa einem Drittel aus SSH-Meldungen, der Rest waren andere übliche Syslog-Meldungen ohne Relevanz für die Korrelation.

Abbildung 2.6: Ergebnisse des Benchmark

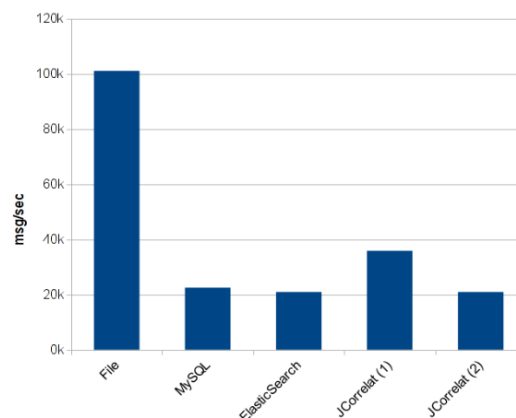


Abbildung 2.6 zeigt die Ergebnisse eines Benchmarks über das gesamte Korrelationssystem hinweg.

**File** zeigt die Anzahl der Meldungen nach der Normalisierung wenn diese einfach lokal in Dateien geschrieben werden.

Die Balken **MySQL** und **ElasticSearch** demonstrieren die Anzahl der normalisierten Syslog-Meldungen wenn diese direkt über *rsyslog* eigene Module in diese Datenbanken geschrieben werden. Es wird eine auf HTTP-basierende API verwendet.

Über 30.000 normalisierte Syslog-Meldungen **JCorrelat (1)** können hingegen mit *JCorrelat* über die *elasticsearch*-API direkt in *elasticsearch* geschrieben werden, was die Differenz zum vorhergehenden Balken erklärt, da hier der HTTP-Verwaltungsaufwand entfällt.

Bei **JCorrelat (2)** wurde auch die Korrelation aktiviert. Damit ist *JCorrelat* nicht langsamer als wenn nur normalisierte Syslog-Meldungen in eine Datenbank geschrieben würden.

<sup>4</sup><https://github.com/balabit/syslog-ng/blob/master/tests/loggen/loggen.md>

### 3 Ausblick und Auswertungsmöglichkeiten

Da *JCorrelat* wohl formatierte Daten in *elasticsearch* ablegt, ist es möglich mit einer Vielzahl an weiteren Werkzeugen diese Daten zu analysieren und zu visualisieren. Aus diesem Grund wurde auf der Basis von [9] ein ELK-Stack aufgebaut um weitere beispielhafte Visualisierungen vorzustellen. Der Aufbau des verwendeten ELK-Stacks ist Schematisch in Abbildung 4.6 (Anhang) dargestellt. Für die Visualisierung zeigt sich *Kibana* verantwortlich.

Abbildung 3.1 zeigt eine durch *Kibana* erstellte Visualisierung. *Kibana* greift dazu auf Daten zurück die durch *Logstash* strukturiert in *elasticsearch* abgelegt wurden. Ähnlich wie im Beispielszenario (Abschnitt 2.2) sind auch hier fehlgeschlagene SSH-Logins anschaulich gemacht. Die IP-Quelladressen wurden dabei mithilfe von *Geotargeting* einer möglichen Region zugewiesen, ebenso die Anzahl der erfolglosen Loginversuche aus dieser Region über einen vorher definierten Zeitraum. Der Kreisdurchmesser hat keinerlei Bedeutung, lediglich der Farbverlauf gibt in fünf dynamisch errechneten Abstufungen die Anzahl der erfolglosen Versuche an, wie man am Beispiel Kiev deutlich sieht. Um auch alle Erfolgreichen Logins anzuzeigen ist eine weitere Karte notwendig (Abbildung 3.2).

Diese Form der Illustration würde sich auch für *JCorrelat* anbieten, dann könnten die Ereignisse (Bruteforce-Attacke und erfolgreicher Login während einer Attacke) auf einer Karte darstellt werden.

Abbildung 3.1: Visualisierung mit Kibana (fehlgeschlagene Logins)

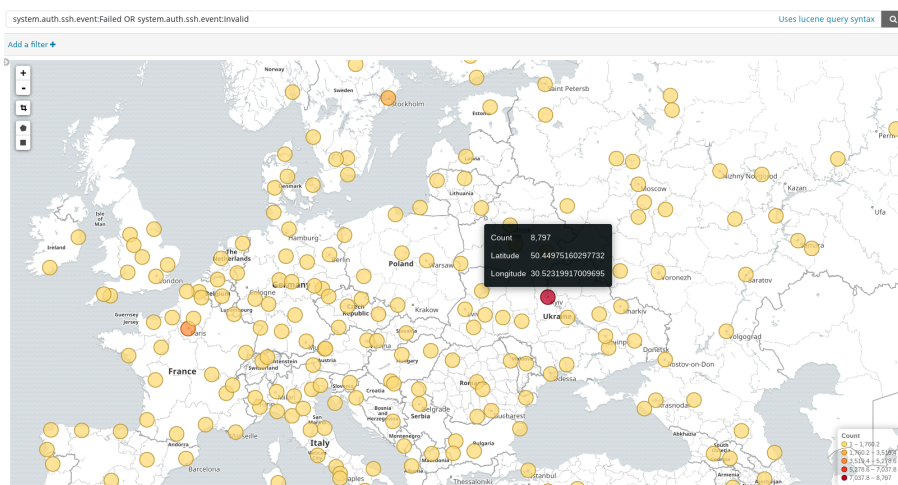
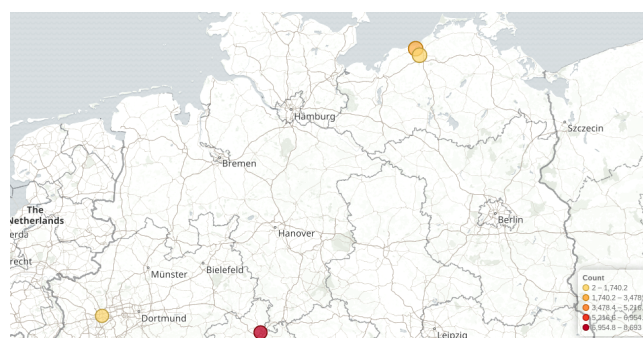


Abbildung 3.2: Visualisierung mit Kibana (erfolgreiche Logins)



## 4 Fazit

lalla

# Literaturverzeichnis

- [1] Guillermo Francia, Levent Ertaul, Luis Hernandez Encinas, and Eman El-Sheikh. *Computer and Network Security Essentials*. Springer, 2017.
- [2] Bundesamt für Sicherheit in der Informationstechnik (BSI). *Die Lage der IT-Sicherheit in Deutschland 2017*.
- [3] Bundesamt für Sicherheit in der Informationstechnik (BSI). [https://www.bsi.bund.de/DE/Themen/Cyber-Sicherheit/Aktivitaeten/Cyber-Abwehrzentrum/cyberabwehrzentrum\\_node.html](https://www.bsi.bund.de/DE/Themen/Cyber-Sicherheit/Aktivitaeten/Cyber-Abwehrzentrum/cyberabwehrzentrum_node.html). Abrufdatum: 03.06.2018.
- [4] Bundesamt für Sicherheit in der Informationstechnik (BSI). [https://www.bsi.bund.de/DE/Themen/Cyber-Sicherheit/Aktivitaeten/IT-Lagezentrum/itlagezentrum\\_node.html](https://www.bsi.bund.de/DE/Themen/Cyber-Sicherheit/Aktivitaeten/IT-Lagezentrum/itlagezentrum_node.html). Abrufdatum: 03.06.2018.
- [5] Sven Reissmann, Dustin Frisch, Christian Pape, and Sebastian Rieger. Correlation and consolidation of distributed logging data in enterprise clouds. *International Journal on Advances in Internet Technology Volume 7, Number 1 & 2, 2014*, 2014.
- [6] IX Magazin für professionelle Informationstechnik. <https://www.heise.de/ix/meldung/Umfrage-Cloud-kannt-teuer-werden-4072912.html>. Abrufdatum: 08.06.2018.
- [7] R. Gerhards. <https://tools.ietf.org/html/rfc5424>. 2009.
- [8] T. Surdilovic. <https://slideshare.net/tsurdilovic/jboss-drools-and-drools-fusion-cep-making-business-rules-react-to-rte>. 2011.
- [9] Patrick Kleindienst. Building a real-world logging infrastructure with logstash, elasticsearch and kibana. 2016.



## Abbildungsverzeichnis

1.1	Sequenzdiagramm: Aktive Überwachung . . . . .	3
1.2	Passive Überwachung . . . . .	4
2.1	Aufbau von JCorrelat . . . . .	6
2.2	Beispiel RFC5424 Syslog-Meldung . . . . .	7
2.3	Beispiele SSH-Meldungen . . . . .	7
2.4	<i>sliding window</i> -Prinzip . . . . .	8
2.5	Einfache Visualisierung durch JCorrelat . . . . .	9
2.6	Ergebnisse des Benchmark . . . . .	10
3.1	Visualisierung mit Kibana (fehlgeschlagene Logins) . . . . .	11
3.2	Visualisierung mit Kibana (erfolgreiche Logins) . . . . .	11
4.1	Statusverlauf visualisiert mit <i>NagVis</i> . . . . .	III
4.2	<i>liblognorm</i> - Regel . . . . .	III
4.3	<i>liblognorm</i> - strukturierte Daten (JSON) . . . . .	IV
4.4	<i>Drools</i> Brute Force - Regel . . . . .	IV
4.5	<i>Drools</i> - login detection Regel . . . . .	V
4.6	Aufbau des verwendeten ELK-Stacks . . . . .	V

## Tabellenverzeichnis

1.1	Statusübersicht . . . . .	3
1.2	Beispiele für aktive Überwachung . . . . .	4
2.1	Aufbau RFC 5424 . . . . .	6

# Anhang

Abbildung 4.1: Statusverlauf visualisiert mit *NagVis*

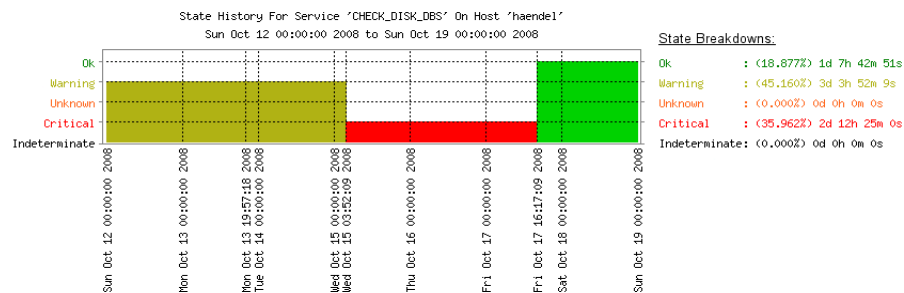


Abbildung 4.2: *liblognorm* - Regel

```
rule=SSHSUCCESS : Accepted password for %user:
word% from %ip:ipv4% port %port : number% %protocol:word%

rule=SSHFAILURE : Failed password for %user:
word% from %ip:ipv4% port %port : number% %protocol:word%

rule=SSHFAILURE : Failed password for invalid user %user:
word% from %ip:ipv4% port %port : number% %protocol:word%
```

Abbildung 4.3: *liblognorm* - strukturierte Daten (JSON)

```
{  "data": {
    "protocol": "ssh2",
    "port" : "54548",
    "ip": "10.0.23.4",
    "user": "root"
  },
  "time": "2014-01-29T16:06:00.000",
  "host": "test.example.com",
  "facility": "auth",
  "severity": "info",
  "program" : "sshd",
  "message": " Failed password for root from
              10.0.23.4 port 54548 ssh2",
  "tags" : ["SSHFAILURE"] }
```

Abbildung 4.4: *Drools* Brute Force - Regel

```
rule "SSH brute-force attempt"
no-loop
when
    Message (    $host:host,
                $user:data["user"])
    $atts: CopyOnWriteArrayList(size >= 10)
        from collect(
            Message(    tags contains "SSHFAILURE",
                        host == $host,
                        data["user"] == $user)
            over window : time (1m))
then
    Message last = (Message) $atts.get($atts.size()-1) ;

    for (Object f: $atts) {
        retract ( f ) ;
    }

    insert (messageFactory(last)
        . setTime(last.getTime( ))
        . setSeverity(Message.Severity.WARNING)
        . setFacility(Message.Facility.SECURITY)
        . setMessage("SSH brute-force attack" +
                    "for @{data.user} from @{data.ip}")
        . addTag ("BRUTEFORCE")
        . message( )) ;
end
```

Abbildung 4.5: *Drools* - login detection Regel

```
rule "Successful SSH brute-force attack"
no-loop
when
    $ att: Message (      tags contains "SSHFAILURE",
                        tags contains "BRUTEFORCE",
                        $host: host ,
                        $user: data ["user"])
    $ suc: Message (      host == $host,
                        data ["user" ] == $user,
                        tags contains "SSHSUCCESS",
                        this finishes[10 s] $att)
then
    $att.addTag("INCIDENT");
    $att.setSeverity(Severity.EMERGENCY);
    $att.setMessage($att.getMessage( ) + "[bruteforce]");
update ($att);
end
```

Abbildung 4.6: Aufbau des verwendeten ELK-Stacks

